

Fig. 5. Relation between temperature drop during tapping and tapping time.

他の要因出鋼流の乱れ具合、炉回数、取鍋添加剤の使用量、取鍋レンガ温度との相関も調査したがはつきりした関係は認められなかつた。

この結果を得たので当所転炉工場では出鋼所要時間によつて出鋼目標温度を変えて作業を行なつてゐる。

IV. 結 言

吹止 [Mn] が高いため Fe-Mn を使用せずに出鋼した極軟リムド鋼のデータを調査した結果、[Mn]、[C] は出鋼中に低下し、その低下量は吹止値が高い程、また出鋼所要時間が長い程大きいことがわかつた。[P][S] は出鋼中にはほとんど変化しないことがわかつた。

また転炉出鋼中の温度降下を調査した結果、温度降下は出鋼所要時間が長い程大きいことがわかつた。

文 献

- 1) J. W. BROWER: Open Hearth Proc. 23 (1950), p. 161
- 2) C. E. SIMS: Electric Furnace Steelmaking, Vol. II. (1963), New York, p. 347

(69) 純酸素転炉における酸素使用量の 管理について No. 66d31

(純酸素転炉の終点コントロール—II)

八幡製鉄所、製鋼部 PP1727~1730

中田聰・武田雅男・○椿原治
On the Control of Oxygen Consumption in LD Converter.

(Study on the end point control of a LD converter—II)

Satoshi NAKATA, Masao TAKEDA
and Osamu TSUBAKIHARA.

I. 緒 言

純酸素転炉工場においては終点[C]、終点温度の適中状況が、品質、能率、コストにおよぼす影響は非常に大なるものがある。このため当洞岡転炉工場においては以前より終点[C]と終点温度を組合せたコントロール方式を検討しその実用化をはかつてきた。第 I 報¹⁾として適正屑鉄配合率の決定法について報告したが、その後現場適用に際して、計算尺を使用するように改良すると共に

第2段階として、適正酸素使用量について重回帰分析を行ない、酸素使用量の決定についても標準化を行なつて好結果を得ている。ここにその概要を報告する。

II. 終点コントロールの概要

(1) 適正配合量の決定方法

副材料のうちミルスケール（または鉄鉱石）は一定量使用し生石灰、および螢石量は、鋼種、溶製条件によって決定する。これら、副原料、装入量、溶銑温度、溶銑[Si]、Delay Time、終点[C]、および終点温度の目標により適正屑鉄配合率を計算し、配合する。

(2) 適正通酸量の決定方法

上記(1)の項の諸条件に屑鉄配合率を加えて終点[C]終点温度が同時に目標内に適中するように適正通酸量を計算し、フレームも参考にして吹止め。

(3) 終点[C]、終点温度の目標同時適中について

終点目標[C]、終点目標温度が決定すると目標同時適中域 (Fig. 1 は極軟鋼のある鋼種の場合の同時適中域の一例であるが $d_1 d_2 b$ に囲まれた所) が決定し、吹鍊者はこの域内にて吹止めることを最終目標とする。これを達成するために配合者はできるだけ適正配合になるよう努力し (すなわち $d_1 d_2 > e_1 e_2 = c_1 c_2 > f = b$ であるため、できるだけ適正配合に近い方が目標同時適中域を通過する時間は長くなり、吹止めしやすくなる。), また吹鍊者は屑鉄配合率を決定した際に判明していなかつたデータ (例えば前回の終点[C], 今回の溶銑[Si]の分析値) を加えて酸素使用量を決定するようにしている。

(4) 操業条件の一定化

終点コントロールを容易にするにはできるだけ要因の変化のない連続した操業条件をとることが望ましい。すなわち、操業条件からすれば鋼種、目標良塊 t 数の同じものを連続した場合が一番良いが、洞岡転炉工場では多品種の鋼塊を溶製しており、かかる条件はほとんど満足されない。したがつて当転炉工場では次のような点に留意して連続条件を得るように努力している。

- i) 屑鉄種別の管理強化…種別、形状、温度の管理
- ii) 鋼種別吹鍊基準の一定化

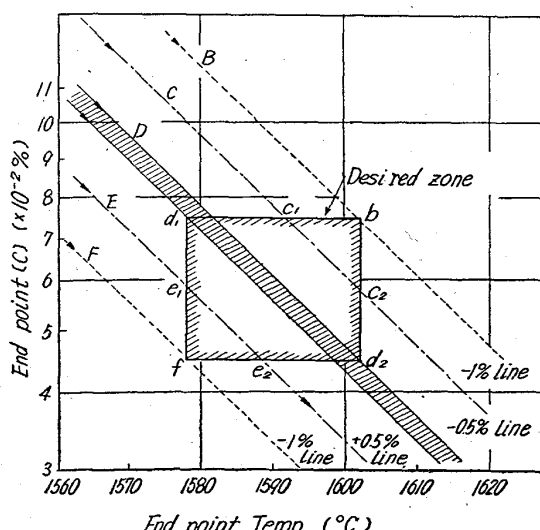


Fig. 1. A desired zone of end point of a low carbon steel.

iii) 副原料中のスケール(または鉄鉱石)の一定量使用
なお、3基整備2基交互操業になつて以後、ラップ操業基準、混銑炉使用基準などについても検討を行なつてゐる。

III. 解析方法

適正屑鉄配合率および適正通酸量におよぼす要因は数多くあるが純酸素転炉の大きな特色として平炉、電炉に比較して再現性が強いため操業条件が一定で連続操業した場合、製鋼にて一定にできない要因を除けば、残りの要因はほとんど変動がなく屑鉄配合率、通酸量などの特性値におよぼす影響度は非常に小さいものとなる。

以上の現象を利用して次の式を作成した。すなわち特性値におよぼす影響度の大きい順に各要因を並べたとすれば、おのおの重回帰式は次のようになる。

$$y = A_0 + a_1x_1 + a_2x_2 + \dots + a_nx_n + a_{n+1}x_{n+1} + a_mx_m \quad (1)$$

$$y' = A_0 + a_1x'_1 + a_2x'_2 + \dots + a_nx'_n + a_{n+1}x'_{n+1} + \dots + a_mx'_m \quad (2)$$

(1)式: 前チャージの回帰式

(2)式: 前チャージの回帰式

(2)-(1)

$$(y' - y) = a_1(x'_1 - x_1) + a_2(x'_2 - x_2) + \dots + a_n(x'_n - x_n) + a_{n+1}(x'_{n+1} - x_{n+1}) + \dots + a_m(x'_m - x_m) = \sum_{i=1}^m a_i(x'_i - x_i) \quad (3)$$

この中で $(n+1)$ 項以降では連続という条件より特性値におよぼす影響がほとんどないとすれば

$$(x'_{n+1} - x_{n+1}) = 0 \quad (x'_{n+2} - x_{n+2}) = 0$$

$$(x'_m - x_m) = 0$$

$$\therefore (y' - y) = \sum_{i=1}^n a_i(x'_i - x_i) \quad (4)$$

この中で

$y' - y = Y$ {今回の特性値 (y') = 前回の特性値 (y) + 補正量 (Y)} $x'_i - x_i = X_i$ および新たに常数として

$a_0 (a_0 = 0$ と推定されるが) を導入すれば

$$Y = a_0 + a_1X_1 + a_2X_2 + a_3X_3 + \dots + a_nX_n$$

$$= a_0 + \sum_{i=1}^n a_iX_i \quad (5)$$

このようにすれば $E(\bar{Y}) = 0 \quad E(\bar{X}) = 0 \quad E(a_0) = 0$ となる。

以上の考え方では、次回との差をとつてあるため、群間(例えば炉代の違い、炉回数の新旧など)のバラツキはなく、群内のバラツキだけですむ。ゆえに、(6)式を使用し特性値を適正配合量および適正酸素使用量とし、CAB 500 を用いて重相関および重回帰分析を行なつた。前者についての解析結果は前報とほぼ同様の結果を得たので、ここには以下適正酸素使用量についての解析結果を示す。なおデータについては炉代の異なる二つの時期で連続チャージを約 80 チャージとり、各グループ(I), グループ(II)とし、2 グループについて計算を行なつた。またグループ(I)については 4 重、6 重、7 重の各重回帰分析を行つた。

IV. 解析結果

Table 1 に CAB 500 による解析結果および Fig. 2 に酸素使用量の計算値と実績値の比較をのせた。

Table 1. Results of multiple regression analysis on oxygen consumption by CAB 500

Y: Oxygen consumption		Group (I)						Group (II)	
		N=75		N=81		N=71		N=82	
Correlation coefficient	xi	Corre. coeff.	Partial corre. coeff.	Corre. coeff.	Partial corre. coeff.	Corre. coeff.	Partial corre. coeff.	Corre. coeff.	Partial corre. coeff.
	Charging tonnage	0.92**	0.94**	0.93**	0.91**	0.92**	0.91**	0.85**	0.86**
	Scrap ratio	0.20	-0.27*	0.21	-0.26*	0.20	-0.23*	-0.02	-0.03
	End point temp.	0.11	0.42**	0.10	0.42**	0.11	0.38**	0.09	0.28*
	End point [C] (T. Fe)	0.24*	0.21	0.21	-0.11	0.28*	-0.05	0.04	-0.09
	Burnt lime			0.57**	0.10	0.24*	0.21		
	Hot metal [Si]			0.16	-0.07	-0.26*	-0.03	-0.04	-0.12
Multiple correlation coefficient coefficient of determination		0.96** 90.3%		0.95** 90.3%		0.95** 90.3%		0.87** 76.6%	
Multiple regression coefficient	Charging tonnage (+1T)	+45.9m ³		+45.9m ³		+45.3m ³		+34.9m ³	
	Scrap ratio (+1%)	-15.0m ³		-14.5		-14.7		-1.3	
	End point temp. (+10°C)	+11.4m ³		+11.7		+11.3		+11.6	
	(T. Fe) (+1%)	+ 0.8m ³				+ 0.8			
	End point [C] (+0.01%)			- 2.9		- 1.3		- 2.0	
	Burnt lime (+1T)			+26.2		+22.3		-16.6	
	Hot metal [Si] (+0.10%)			- 9.5		- 4.6		-12.3	
Constant		+ 3.34m ³		+ 2.62		+ 3.77		- 6.89	
Error deviation		55.4m ³		55.5m ³		56.4m ³		58.7m ³	
Level of significance		** 99%		* 95%					

Table 2. Regression coefficient of grade A steel.

	Scrap ratio contral	Oxygen consumption contral														
		4S. R.					ΔO_2									
Charging tonnage ($\pm 1t$)	$\pm 0.15\%/\text{Charge}$										$\pm 45m^3/\text{heat}$					
Scrap ratio ($\pm 1t$)	$\pm 0.5\%$										± 15					
End point temp. ($\pm 10^\circ\text{C}$)	$*$										$\pm 11m^3$					
End point [C]	$\pm 1.0\%$										$**$					
Burnt lime ($\pm 1t$)	$\pm 0.27\%$										$\pm 22m^3$					
Hot metal temp. ($\pm 10^\circ\text{C}$)	$\pm 1.32\%$										$\pm 5m^3$					
Hot metal [Si] ($\pm 0.10\%$)	-0.3%										$\pm 56m^3$					
Delay time (15min)																
Change of end point [C] ($\times 10^{-2}\%$)	3→4	4→5	5→6	6→7	7→8	8→9	9→10	10→11	11→12							
ΔO_2 (m^3/heat)	-30	-25	-25	-20	-20	-20	-16	-16	-10**							
$\Delta S. R$ (%/charge)	-0.60	-0.50	-0.45	-0.35	-0.30	-0.30	-0.27	-0.25	-0.25*							

Table 3. An example of calculated method

	Charging tonnage	End point temp	End point [C]	Burnt lime	Hot metal temp	Hot metal [Si]	Delay time	Scrap ratio			
Scrap ratio control	Previous heat	t	$^\circ\text{C} \times 10^{-2}\%$	t	$^\circ\text{C}$	%	min	%	y=22.5	$y'=y+Y$	
	One heat	74.5	1615	7.0	1310	0.60	0			$=22.5+1.7$	
	Difference	78.5	(1600)	(6.0)	1330	(0.60)	(0)			$=24.2\%$	
Oxygen consumption control	$\Delta S. R$ (%/charge)	+4.0	-15	-1	+0.5	+20	0	0	y=+1.74		
	Previous heat	+0.6%	+0.75	+0.35	-0.5	+0.54	0	0			
	One heat										
	Difference										
	ΔO_2 (m^3/heat)	+180m ³	-17m ³	+20	+11	-10	+17	0	y=3200	$y'=y+Y$	
										$=3200+176$	
											$=3376m^3$

〔 〕: Estimated value () : Desired value

V. 適用に除しての係数の決定および計算方法について

適正屑鉄配合率コントロールについては前報に報告した係数と今回の解析結果を総合して決定した。また適正酸素使用量については重回帰分析結果を吹鍊者も加えて検討を行い係数を決定した。Table 2 に鋼種グレードA

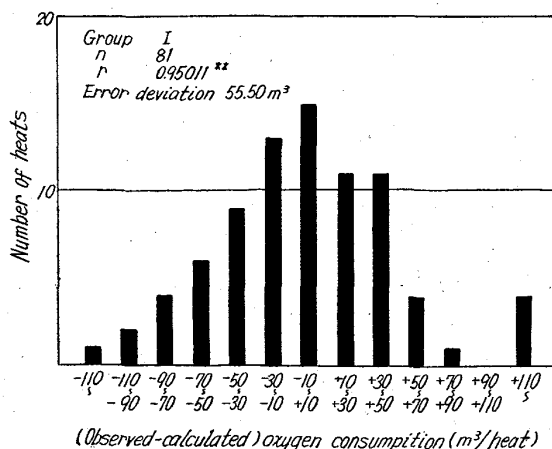


Fig. 2. Comparison between oxygen consumption of calculated and observed.

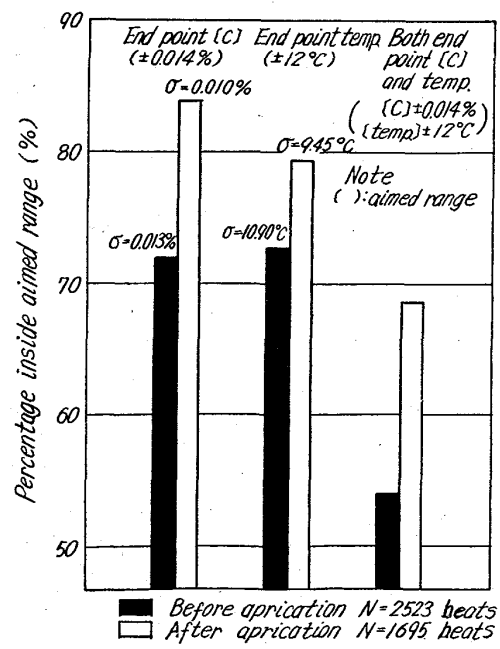


Fig. 3. Comparison of results between before and after application.

の場合の係数を示す。また計算方法については一例をTable 3に示す。

VI. 現場作業への適用および結果

Table 3の計算例のような計算を高熱騒音下で迅速かつ正確に行なうことは容易なことではない。この為終点コントロール第I報にて述べたごとく最初は計算図表を用いたのであるが、かなり複雑で吹鍊者の使用上もつと簡単に計算できるものが望まれていた。このため新たに計算尺を作成し、中尺およびカーソルを連続に動かすことにより、7~8要因位であれば10~15sec位にて特性値を容易に計算できるようになつた。終点コントロール計算尺は適正屑鉄配合率決定用と適正酸素使用量決定用と2種類あり、この両者を組合せて使用している。Fig. 3に計算尺適用前後の終点[C], 終点温度、同時適中率の比較を示す。図に見るごとく諸成績の向上には著るしいものがある。

VII. 総括

洞岡転炉工場においては数個の操業要因の変化から迅速にアクションできる終点コントロールの標準化に努力してきた。終点[C], 終点温度を同時に目標内に適中させるため、適正配合と適正通酸量をとりあげ簡単な計算尺を使用してコントロールを行なつてはいる。その結果、吹鍊作業の標準化が行なわれると共に終点各目標適中率は著しく向上した。

文 献

1) 小出、中田、他：鉄と鋼, 49 (1963) 10, p. 1367

36年7月に運転開始以来ミルスケール単味法を採用してきたが、酸化鉄系物質の1種である砂鉄が転炉で使用できれば、北海道産物の有効利用として、地方色と経済性を生かしたものとなり、その有する意義はきわめて大であると考え、その実現に意を注いだ結果、十分実用になることを確信し得て、その後、砂鉄単味法を実施している。以下にその経緯と結果について報告する。

II. 砂鉄の性状

砂鉄にも各種産地によって種々の性質のものがあり構造および含有物から特徴が多岐にわたる。Table 1に当所に入荷する噴火湾沿岸砂鉄の組成分析値、Table 2に粒度分布を示す。同表から次の各点が特徴としてあげられる。

i) スケールに比し粒子が細かく、貯蔵および輸送系統中のつまり棚つきの心配、あるいは使用時の飛散によるロスが懸念される。

ii) チタン分 (TiO_2) を約8%含んでいる。

iii) けい酸 (SiO_2) の含有量がスケールより約3%高い。しかし砂鉄の使用量を考えれば問題とならないと思われる。

iv) PおよびSなどの不純物が若干多い。

III. 砂鉄スール比較使用試験

前記の各項からスケールの代わりに砂鉄を用いた場合、操業上問題となる次の項目につき、スケール操業と砂鉄操業を一組として、酸素吹込条件、副原料使用量、吹鍊鋼種を全く同一の条件の下で行なつて、比較検討した。

i) 取扱い、貯蔵、輸送の円滑性

スケールと同様の持込み一払出し系統で砂鉄を使用したが、トラブルは全然なく円滑であることがわかつた。また、屋外貯蔵の関係で水分含有量が懸念されたが、調査結果によれば転炉使用直前で、2%前後ではほぼ一定しており、問題にはならなかつた。

ii) 冷却効果

Table 3に試験操作の主要データを示した。スケールの冷却効果はくず鉄の2.6倍あるが、砂鉄を用いた場合どうなるかを試算した。

Table 3の各対はそれぞれ同一の溶銑を用いているので、成分温度は対内では考慮の必要はない。各対のスクランプ換算率は一定吹止温度、Cにて両法で等しいとして砂鉄の冷却効果を算出すると2.10~2.84の間にあり、

Table 1. Chemical composition of iron sand.

Description	Chemical composition %									
	T. Fe	FeO	SiO ₂	P	S	Mn	TiO ₂	C. W.	H ₂ O	
Nakanosawa	57.40	29.36	5.83	0.145	0.065	0.54	7.72	0.51	4.9	
Kunnui A	58.48	30.06	4.39	0.160	0.055	0.52	8.65	0.49	7.6	
Kunnui B	58.55	30.07	4.80	0.134	0.058	0.54	7.77	0.39	8.6	
Kitatoyotsu	60.92	32.06	2.74	0.195	0.069	0.54	7.56	0.37	4.0	
Yakumo	60.22	31.28	3.24	0.221	0.072	0.55	7.77	0.36	6.5	
Kunnui C	59.81	30.96	3.40	0.148	0.060	0.53	8.13	0.59	4.6	
Kunnui D	60.46	31.53	3.07	0.185	0.073	0.55	7.56	0.43	4.7	
Kunnui E	58.29	27.58	3.42	0.107	0.050	0.49	10.11	0.59	7.6	
Suttsu	56.73	30.16	4.40	0.092	0.055	0.48	10.21	0.75	3.7	
Average	58.98	30.34	3.92	0.154	0.062	0.53	8.39	0.50	5.8	